



LABORATOIRE
JEAN KUNTZMANN
MATHÉMATIQUES APPLIQUÉES - INFORMATIQUE



Université Mohammed V
AGDAL - RABAT

Ondelettes pour la prise en compte de conditions aux limites en turbulence incompressible

Souleymane Kadri-Harouna

Directeurs de thèse : Valérie Perrier, Saïd El Hajji

Introduction



Hurricane FRAN (NASA-NIX, 4 Sept 1996)

Décadence en turbulence isotrope 2D

Introduction

Quelques caractéristiques :

- Instationnarité, imprédictibilité
- Forte interaction des échelles spatiales et temporelles

Difficultés pour les expériences numériques :

- Paramètres à gérer en fonction du nombre de Reynolds ($Re^{\frac{9}{4}}$ en 3D et $Re^{\frac{6}{4}}$ en 2D)
- Grands moyens en calcul et en temps CPU

Recherche de méthodes efficaces pour la simulation :

- Méthodes spectrales : rapides et performantes \neq conditions aux limites physiques
- Méthode de type éléments finis, volumes finis ou différences finies : adaptation à la géométrie \neq coûteuses en calculs et en mémoire CPU
- \longrightarrow Méthodes concurrentes en formulation lagrangienne

Direction de recherche :

\longrightarrow Méthodes de discrétisation en ondelettes pour des conditions aux limites physiques

Introduction

Quelques caractéristiques :

- Instationnarité, imprédictibilité
- Forte interaction des échelles spatiales et temporelles

Difficultés pour les expériences numériques :

- Paramètres à gérer en fonction du nombre de Reynolds ($Re^{\frac{9}{4}}$ en 3D et $Re^{\frac{6}{4}}$ en 2D)
- Grands moyens en calcul et en temps CPU

Recherche de méthodes efficaces pour la simulation :

- Méthodes spectrales : rapides et performantes \neq conditions aux limites physiques
- Méthode de type éléments finis, volumes finis ou différences finies : adaptation à la géométrie \neq coûteuses en calculs et en mémoire CPU
- \rightarrow **Méthodes concurrentes en formulation lagrangienne**

Direction de recherche :

\rightarrow Méthodes de discrétisation en ondelettes pour des conditions aux limites physiques

Introduction

Quelques caractéristiques :

- Instationnarité, imprédictibilité
- Forte interaction des échelles spatiales et temporelles

Difficultés pour les expériences numériques :

- Paramètres à gérer en fonction du nombre de Reynolds ($Re^{\frac{9}{4}}$ en 3D et $Re^{\frac{6}{4}}$ en 2D)
- Grands moyens en calcul et en temps CPU

Recherche de méthodes efficaces pour la simulation :

- Méthodes spectrales : rapides et performantes \neq conditions aux limites physiques
- Méthode de type éléments finis, volumes finis ou différences finies : adaptation à la géométrie \neq coûteuses en calculs et en mémoire CPU
- \rightarrow **Méthodes concurrentes en formulation lagrangienne**

Direction de recherche :

- \rightarrow Méthodes de discrétisation en ondelettes pour des conditions aux limites physiques

- **Équations de Navier-Stokes incompressibles :**

$$(NS) \begin{cases} \partial_t \mathbf{v} - \nu \Delta \mathbf{v} = -(\mathbf{v} \cdot \nabla) \mathbf{v} - \nabla \mathbf{p} + \mathbf{f}, & x \in \Omega, t \in [0, T] \\ \nabla \cdot \mathbf{v} = 0, & x \in \Omega, t \in [0, T] \\ \mathbf{v}(0, x) = \mathbf{v}_0(x), & x \in \Omega \\ \mathbf{v}|_{\partial\Omega} = \mathbf{v}_b, & x \in \partial\Omega \end{cases}$$

- **Projection sur l'espace à divergence nulle :**

$$(NSP) \begin{cases} \partial_t \mathbf{v} - \nu A \mathbf{v} = -\mathbb{P}[(\mathbf{v} \cdot \nabla) \mathbf{v}] + \mathbb{P}(\mathbf{f}), & x \in \Omega, t \in [0, T] \\ \mathbf{v}(0, x) = \mathbf{v}_0(x), & x \in \Omega \\ \mathbf{v}|_{\partial\Omega} = \mathbf{v}_b, & x \in \partial\Omega \end{cases}$$

$A = \mathbb{P}\Delta$ et \mathbb{P} projecteur orthogonal sur l'espace à divergence nulle : $\mathbb{P}(\nabla \mathbf{p}) = 0$.

- **Calcul possible de la pression par décomposition de Helmholtz-Hodge :**

$$\nabla \mathbf{p} = \nu \Delta \mathbf{v} - (\mathbf{v} \cdot \nabla) \mathbf{v} - \mathbb{P}[\Delta \mathbf{v} - (\mathbf{v} \cdot \nabla) \mathbf{v}]$$

- Équations de Navier-Stokes incompressibles :

$$(NS) \begin{cases} \partial_t \mathbf{v} - \nu \Delta \mathbf{v} = -(\mathbf{v} \cdot \nabla) \mathbf{v} - \nabla \mathbf{p} + f, & x \in \Omega, t \in [0, T] \\ \nabla \cdot \mathbf{v} = 0, & x \in \Omega, t \in [0, T] \\ \mathbf{v}(0, x) = \mathbf{v}_0(x), & x \in \Omega \\ \mathbf{v}|_{\partial\Omega} = \mathbf{v}_b, & x \in \partial\Omega \end{cases}$$

- Projection sur l'espace à divergence nulle :

$$(NSP) \begin{cases} \partial_t \mathbf{v} - \nu A \mathbf{v} = -\mathbb{P}[(\mathbf{v} \cdot \nabla) \mathbf{v}] + \mathbb{P}(f), & x \in \Omega, t \in [0, T] \\ \mathbf{v}(0, x) = \mathbf{v}_0(x), & x \in \Omega \\ \mathbf{v}|_{\partial\Omega} = \mathbf{v}_b, & x \in \partial\Omega \end{cases}$$

$A = \mathbb{P}\Delta$ et \mathbb{P} projecteur orthogonal sur l'espace à divergence nulle : $\mathbb{P}(\nabla \mathbf{p}) = 0$.

- Calcul possible de la pression par décomposition de Helmholtz-Hodge :

$$\nabla \mathbf{p} = \nu \Delta \mathbf{v} - (\mathbf{v} \cdot \nabla) \mathbf{v} - \mathbb{P}[\Delta \mathbf{v} - (\mathbf{v} \cdot \nabla) \mathbf{v}]$$

Introduction

Résolution numérique du système projeté :

- Intégration de l'équation : $\partial_t \mathbf{v} - \nu A \mathbf{v} = \phi(\mathbf{v})$, avec $\mathbf{v}|_{\partial\Omega} = \mathbf{v}_b$
- Calcul de la projection : $-\mathbb{P}[(\mathbf{v} \cdot \nabla)\mathbf{v}] + \mathbb{P}(f)$

Ondelettes à divergence nulle périodiques [Thèse Deriaz 06] :

$$\mathbf{v}(t, x) = \sum_{\mathbf{j}, \mathbf{k} \in \mathbb{Z}^d} d_{\mathbf{j}, \mathbf{k}}(t) \Psi_{\mathbf{j}, \mathbf{k}}^{div}(x)$$

$$\partial_t \mathbf{v} - \nu \Delta \mathbf{v} = -\mathbb{P}[(\mathbf{v} \cdot \nabla)\mathbf{v}] + \mathbb{P}(f)$$

La pression :

$$\nabla p = (\mathbf{v} \cdot \nabla)\mathbf{v} - \mathbb{P}[(\mathbf{v} \cdot \nabla)\mathbf{v}]$$

Résolution numérique du système projeté :

- Intégration de l'équation : $\partial_t \mathbf{v} - \nu A \mathbf{v} = \phi(\mathbf{v})$, avec $\mathbf{v}|_{\partial\Omega} = \mathbf{v}_b$
- Calcul de la projection : $-\mathbb{P}[(\mathbf{v} \cdot \nabla) \mathbf{v}] + \mathbb{P}(f)$

Ondelettes à divergence nulle périodiques [Thèse Deriaz 06] :

$$\mathbf{v}(t, x) = \sum_{\mathbf{j}, \mathbf{k} \in \mathbb{Z}^d} d_{\mathbf{j}, \mathbf{k}}(t) \Psi_{\mathbf{j}, \mathbf{k}}^{div}(x)$$

$$\partial_t \mathbf{v} - \nu \Delta \mathbf{v} = -\mathbb{P}[(\mathbf{v} \cdot \nabla) \mathbf{v}] + \mathbb{P}(f)$$

La pression :

$$\nabla p = (\mathbf{v} \cdot \nabla) \mathbf{v} - \mathbb{P}[(\mathbf{v} \cdot \nabla) \mathbf{v}]$$

Motivations

Nouvelles bases d'ondelettes avec des conditions aux limites :

- Bases d'ondelettes pour $\mathcal{H}_{div}(\Omega)$:

$$\mathcal{H}_{div}(\Omega) = \{\mathbf{u} \in (L^2(\Omega))^d ; \nabla \cdot \mathbf{u} = 0 \text{ et } \mathbf{u} \cdot \vec{\mathbf{n}} = 0\} = \{\mathbf{u} = \mathbf{rot}(\chi) ; \chi \in H_0^1(\Omega)\}$$

- Bases d'ondelettes pour $\mathcal{H}_{rot}(\Omega)$:

$$\mathcal{H}_{rot}(\Omega) = \{\mathbf{u} \in (L^2(\Omega))^d ; \mathbf{rot}(\mathbf{u}) = 0 \text{ et } \mathbf{u} \cdot \vec{\tau} = 0\} = \{\mathbf{u} = \nabla \mathbf{q} ; \mathbf{q} \in H_0^1(\Omega)\}$$

- Construction d'ondelettes sur l'intervalle [Meyer 91...]
- Ondelettes à divergence nulle vérifiant Dirichlet homogène [Urban 96]

Méthodes de résolution :

- Méthode de projection ou splitting [Chorin 68, Temam 68]
- Méthode de Gauge [W.E-J.Liu 03]

Objectif :

- Définir des nouveaux schémas en combinant les deux aspects

Nouvelles bases d'ondelettes avec des conditions aux limites :

- Bases d'ondelettes pour $\mathcal{H}_{div}(\Omega)$:

$$\mathcal{H}_{div}(\Omega) = \{\mathbf{u} \in (L^2(\Omega))^d ; \nabla \cdot \mathbf{u} = 0 \text{ et } \mathbf{u} \cdot \vec{\mathbf{n}} = 0\} = \{\mathbf{u} = \mathbf{rot}(\chi) ; \chi \in H_0^1(\Omega)\}$$

- Bases d'ondelettes pour $\mathcal{H}_{rot}(\Omega)$:

$$\mathcal{H}_{rot}(\Omega) = \{\mathbf{u} \in (L^2(\Omega))^d ; \mathbf{rot}(\mathbf{u}) = 0 \text{ et } \mathbf{u} \cdot \vec{\tau} = 0\} = \{\mathbf{u} = \nabla \mathbf{q} ; \mathbf{q} \in H_0^1(\Omega)\}$$

- Construction d'ondelettes sur l'intervalle [Meyer 91...]
- Ondelettes à divergence nulle vérifiant Dirichlet homogène [Urban 96]

Méthodes de résolution :

- Méthode de projection ou splitting [Chorin 68, Temam 68]
- Méthode de Gauge [W.E-J.Liu 03]

Objectif :

- Définir des nouveaux schémas en combinant les deux aspects

Nouvelles bases d'ondelettes avec des conditions aux limites :

- Bases d'ondelettes pour $\mathcal{H}_{div}(\Omega)$:

$$\mathcal{H}_{div}(\Omega) = \{\mathbf{u} \in (L^2(\Omega))^d ; \nabla \cdot \mathbf{u} = 0 \text{ et } \mathbf{u} \cdot \vec{\mathbf{n}} = 0\} = \{\mathbf{u} = \mathbf{rot}(\chi) ; \chi \in H_0^1(\Omega)\}$$

- Bases d'ondelettes pour $\mathcal{H}_{rot}(\Omega)$:

$$\mathcal{H}_{rot}(\Omega) = \{\mathbf{u} \in (L^2(\Omega))^d ; \mathbf{rot}(\mathbf{u}) = 0 \text{ et } \mathbf{u} \cdot \vec{\boldsymbol{\tau}} = 0\} = \{\mathbf{u} = \nabla \mathbf{q} ; \mathbf{q} \in H_0^1(\Omega)\}$$

- Construction d'ondelettes sur l'intervalle [Meyer 91...]
- Ondelettes à divergence nulle vérifiant Dirichlet homogène [Urban 96]

Méthodes de résolution :

- Méthode de projection ou splitting [Chorin 68, Temam 68]
- Méthode de Gauge [W.E-J.Liu 03]

Objectif :

- Définir des nouveaux schémas en combinant les deux aspects

1
1 Ondettes à divergence nulle ou à rotationnel nul

2
2 Décomposition de Helmholtz-Hodge par ondelettes

3
3 Nouveaux schémas numériques pour Navier-Stokes

4
4 Conclusion-Perspectives

1 Ondettes à divergence nulle ou à rotationnel nul

2 Décomposition de Helmholtz-Hodge par ondelettes

3 Nouveaux schémas numériques pour Navier-Stokes

4 Conclusion-Perspectives

Ondelettes à divergence nulle ou à rotationnel nul

- **Ondelettes à divergence nulle ou à rotationnel nul sur \mathbb{R}^d** :
 - Construction [Battle-Federbush 93, Lemarié 92, Urban 96, Urban 00]
 - Algorithmes rapides [Deriaz-Perrier 06]
 - Décomposition de Helmholtz [Urban 00, Deriaz-Perrier 08]
- **Ondelettes à divergence nulle ou à rotationnel nul sur $[0, 1]^d$** :
 - AMR sur $[0, 1]^2$ préservant la divergence nulle [Jouini-Lemarié 93]

$$\forall \mathbf{u} \in (H^1([0, 1]^2))^2, \nabla \cdot \mathbf{u} = 0 \Rightarrow \nabla \cdot \vec{\mathcal{P}}_j(\mathbf{u}) = 0$$

où $\vec{\mathcal{P}}_j$ est le projecteur multi-échelle associé à l'AMR.

→ Construction pratique vérifiant des conditions aux limites physiques

Ondelettes à divergence nulle ou à rotationnel nul

- **Ondelettes à divergence nulle ou à rotationnel nul sur \mathbb{R}^d** :
 - Construction [Battle-Federbush 93, Lemarié 92, Urban 96, Urban 00]
 - Algorithmes rapides [Deriaz-Perrier 06]
 - Décomposition de Helmholtz [Urban 00, Deriaz-Perrier 08]
- **Ondelettes à divergence nulle ou à rotationnel nul sur $[0, 1]^d$** :
 - AMR sur $[0, 1]^2$ préservant la divergence nulle [Jouini-Lemarié 93]

$$\forall \mathbf{u} \in (H^1([0, 1]^2))^2, \nabla \cdot \mathbf{u} = 0 \Rightarrow \nabla \cdot \vec{\mathcal{P}}_j(\mathbf{u}) = 0$$

où $\vec{\mathcal{P}}_j$ est le projecteur multi-échelle associé à l'AMR.

→ Construction pratique vérifiant des conditions aux limites physiques

Ondelettes à divergence nulle ou à rotationnel nul

Principe de la construction :

- (i) AMR biorthogonale (orthogonale) de $L^2(0, 1)$ **régulière** : (V_j^1, \tilde{V}_j^1)
 - Ce point est classique : V_j^1 AMR quelconque à reproduction polynomiale.

- (ii) Construction d'AMR biorthogonale (V_j^0, \tilde{V}_j^0) à partir de (V_j^1, \tilde{V}_j^1) par dérivation
 - Ce point sort du cadre habituel et il vérifie :

$$\frac{d}{dx} V_j^1 = V_j^0 \quad \frac{d}{dx} \tilde{V}_j^0 \subset \tilde{V}_j^1 \quad \tilde{V}_j^0 \subset H_0^1(0, 1)$$

- (iii) Construction d'ondelettes à divergence nulle ou à rotationnel nul sur $[0, 1]^d$
 - Divergence nulle \rightarrow **Rotationnel d'un produit tensoriel de $(d - 1)$ espaces V_j^1 et V_j^0**
 - Rotationnel nul \rightarrow **Gradient d'un produit tensoriel d'espaces V_j^1**

Ondelettes à divergence nulle ou à rotationnel nul

(i) **AMR biorthogonale (orthogonale) de $L^2(0,1)$ régulière** : (V_j^1, \tilde{V}_j^1)

- Générateurs orthogonaux [Meyer 91, Andersson et al. 93, ...]
- Générateurs biorthogonaux [Cohen-Daubechies-Vial 93, Dahmen-Urban-Kunoth 97, ...]
- Conditions aux limites homogènes [Chiavassa-Liandrat 97, Monasse-Perrier 99, Masson 99, ...]

Dans ce travail on utilise :

- Adaptation de la construction de [Monasse-Perrier 99] au cas biorthogonal
- Ondelettes de [G.-Talocia-Tabacco 00] sauf biorthogonalisation [Dahmen et al. 97]

Ondelettes à divergence nulle ou à rotationnel nul

(i) AMR biorthogonale (orthogonale) de $L^2(0, 1)$ régulière : (V_j^1, \tilde{V}_j^1)

- (V_j^1, \tilde{V}_j^1) une AMR biorthogonale (orthogonale) de $L^2(0, 1)$ associée à $(\varphi^1, \tilde{\varphi}^1)$
- Reproduction polynomiale :

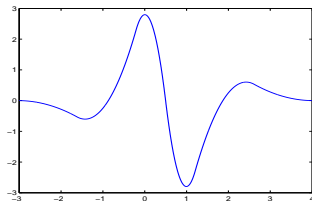
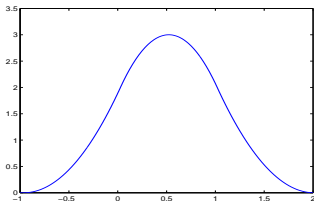
$$0 \leq \ell \leq r - 1, \quad \frac{2^{j/2} (2^j x)^\ell}{\ell!} = \Phi_{j,\ell}^{1,b}(x) + \sum_{k=k_0}^{2^j - k_1} p_\ell^1(k) \varphi_{j,k}^1(x) + \Phi_{j,\ell}^{1,\#}(1 - x)$$

où $\varphi_{j,k}(x) = 2^{j/2} \varphi(2^j x - k)$ fonctions intérieures, k_0 et k_1 dépendent des supports et des paramètres entiers (δ_0, δ_1)

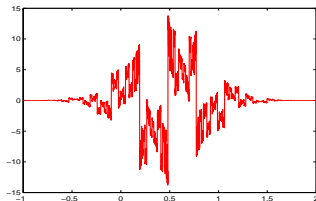
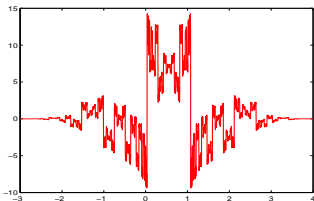
- L'espace \tilde{V}_j^1 a une structure similaire avec \tilde{r} et $(\tilde{\delta}_0, \tilde{\delta}_1)$ comme paramètres entiers

Ondelettes à divergence nulle ou à rotationnel nul

- Fonctions d'échelle φ^1 (gauche) et l'ondelette ψ^1 (droite) : **B-Spline 3.3**

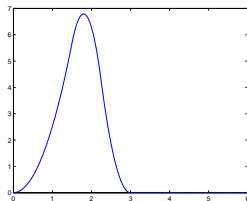
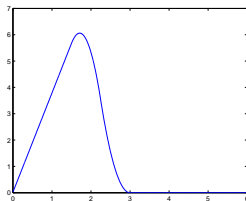
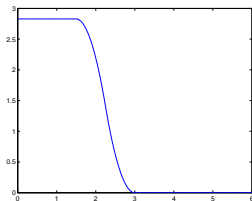


- Fonctions d'échelle $\tilde{\varphi}^1$ (gauche) et l'ondelette $\tilde{\psi}^1$ (droite) : **B-Spline 3.3**

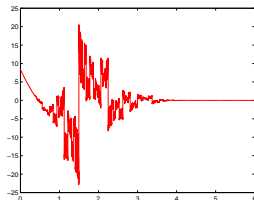
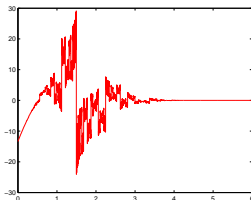
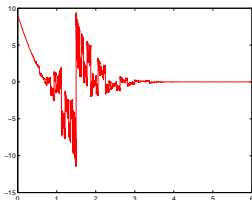


Ondelettes à divergence nulle ou à rotationnel nul

- Fonctions d'échelle de bord en 0 de V_j^1 : **B-Spline 3.3**

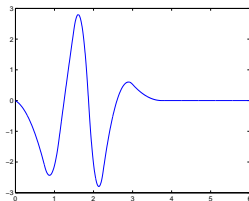
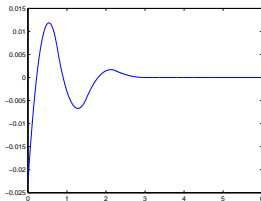
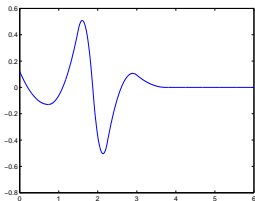


- Fonctions d'échelle de bord en 0 de \tilde{V}_j^1 : **B-Spline 3.3**

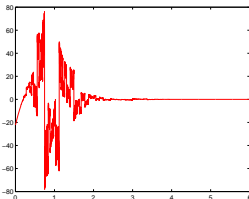
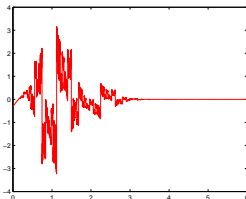
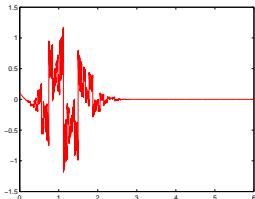


Ondelettes à divergence nulle ou à rotationnel nul

- Ondelettes de bord en 0 de W_j^1 : B-Spline 3.3



- Ondelettes de bord en 0 de \tilde{W}_j^1 : B-Spline 3.3



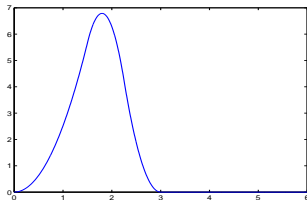
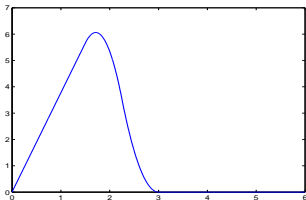
Ondelettes à divergence nulle ou à rotationnel nul

(i) **AMR biorthogonale (orthogonale) de $L^2(0, 1)$ régulière** : (V_j^1, \tilde{V}_j^1)

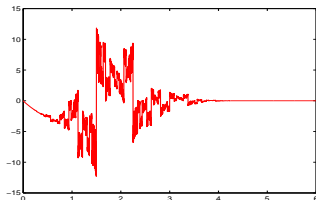
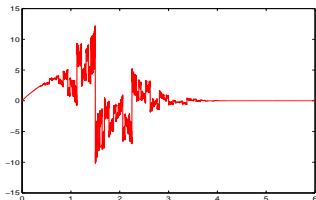
- Conditions aux limites homogènes [Monasse-Perrier 99] :
 - $f^{(\lambda)}(\alpha) = 0$ pour $0 \leq \lambda \leq r - 1$ et $\alpha = 0$ ou $\alpha = 1$
- Il suffit d'enlever de V_j^1 avant biorthogonalisation les fonctions :
 - $\{\Phi_{j,\ell}^{1,b}\}_{\ell=\lambda+1}$ si $\alpha = 0$ ou $\{\Phi_{j,\ell}^{1,\#}\}_{\ell=\lambda+1}$ si $\alpha = 1$
- On doit ajuster alors la dimension de l'espace \tilde{V}_j^1 :
 - On peut procéder de même que pour V_j^1

Ondelettes à divergence nulle ou à rotationnel nul

- Fonctions d'échelle de bord en 0 avec Dirichlet homogène : **B-Spline 3.3**

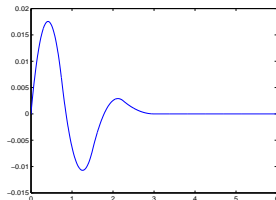
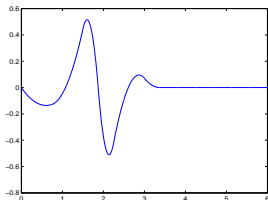
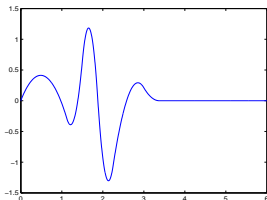


- Fonctions d'échelle de bord en 0 duales avec Dirichlet homogène : **B-Spline 3.3**

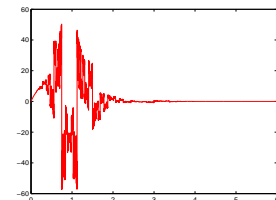
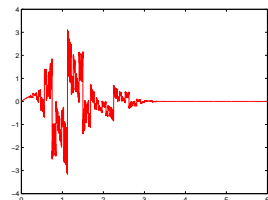
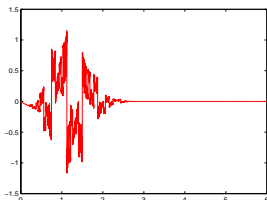


Ondelettes à divergence nulle ou à rotationnel nul

- Ondelettes de bord en 0 avec Dirichlet homogène : **B-Spline 3.3**



- Ondelettes de bord en 0 duales avec Dirichlet homogène : **B-Spline 3.3**



Ondelettes à divergence nulle ou à rotationnel nul

(ii) AMRs biorthogonales (V_j^0, \tilde{V}_j^0) de $L^2(0, 1)$ reliées à (V_j^1, \tilde{V}_j^1) par dérivation :

- **Propriété fondamentale [Lemarié 92]** : Soit $\varphi^1 \in C^{1+\epsilon}$, à support compact, fonction d'échelle de $V_j^1(\mathbb{R})$. Il existe (φ^0, ψ^0) , fonction d'échelle et ondelette sur \mathbb{R} telles que :

$$(\varphi^1(x))' = \varphi^0(x) - \varphi^0(x-1) \quad \text{et} \quad (\psi^1(x))' = 4\psi^0(x)$$

Pour les fonctions duales :

$$(\tilde{\varphi}^0(x))' = \tilde{\varphi}^1(x+1) - \tilde{\varphi}^1(x) \quad \text{et} \quad (\tilde{\psi}^0(x))' = -4\tilde{\psi}^1(x)$$

- **Conséquences :**

$$\frac{d}{dx} \mathcal{P}_j^1(f) = \mathcal{P}_j^0\left(\frac{d}{dx} f\right) \quad \text{et} \quad \frac{d}{dx} \tilde{\mathcal{P}}_j^0(f) = \tilde{\mathcal{P}}_j^1\left(\frac{d}{dx} f\right), \quad \forall f \in H^1(\mathbb{R})$$

- **Intérêts :** algorithmes rapides en ondelettes à divergence nulle ou à rotationnel nul

→ **Notre objectif est une construction similaire sur $[0, 1]$**

Ondelettes à divergence nulle ou à rotationnel nul

(ii) AMRs biorthogonales (V_j^0, \tilde{V}_j^0) de $L^2(0, 1)$ reliées à (V_j^1, \tilde{V}_j^1) par dérivation :

- **Propriété fondamentale [Lemarié 92]** : Soit $\varphi^1 \in C^{1+\epsilon}$, à support compact, fonction d'échelle de $V_j^1(\mathbb{R})$. Il existe (φ^0, ψ^0) , fonction d'échelle et ondelette sur \mathbb{R} telles que :

$$(\varphi^1(x))' = \varphi^0(x) - \varphi^0(x-1) \quad \text{et} \quad (\psi^1(x))' = 4\psi^0(x)$$

Pour les fonctions duales :

$$(\tilde{\varphi}^0(x))' = \tilde{\varphi}^1(x+1) - \tilde{\varphi}^1(x) \quad \text{et} \quad (\tilde{\psi}^0(x))' = -4\tilde{\psi}^1(x)$$

- **Conséquences :**

$$\frac{d}{dx} \mathcal{P}_j^1(f) = \mathcal{P}_j^0\left(\frac{d}{dx} f\right) \quad \text{et} \quad \frac{d}{dx} \tilde{\mathcal{P}}_j^0(f) = \tilde{\mathcal{P}}_j^1\left(\frac{d}{dx} f\right), \quad \forall f \in H^1(\mathbb{R})$$

- **Intérêts** : algorithmes rapides en ondelettes à divergence nulle ou à rotationnel nul

→ Notre objectif est une construction similaire sur $[0, 1]$

Ondelettes à divergence nulle ou à rotationnel nul

(ii) AMRs biorthogonales (V_j^0, \tilde{V}_j^0) de $L^2(0, 1)$ reliées à (V_j^1, \tilde{V}_j^1) par dérivation :

- **Propriété fondamentale [Lemarié 92]** : Soit $\varphi^1 \in C^{1+\epsilon}$, à support compact, fonction d'échelle de $V_j^1(\mathbb{R})$. Il existe (φ^0, ψ^0) , fonction d'échelle et ondelette sur \mathbb{R} telles que :

$$(\varphi^1(x))' = \varphi^0(x) - \varphi^0(x-1) \quad \text{et} \quad (\psi^1(x))' = 4\psi^0(x)$$

Pour les fonctions duales :

$$(\tilde{\varphi}^0(x))' = \tilde{\varphi}^1(x+1) - \tilde{\varphi}^1(x) \quad \text{et} \quad (\tilde{\psi}^0(x))' = -4\tilde{\psi}^1(x)$$

- **Conséquences :**

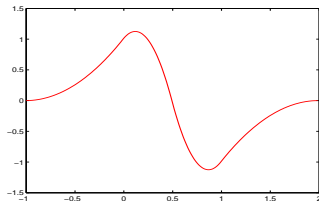
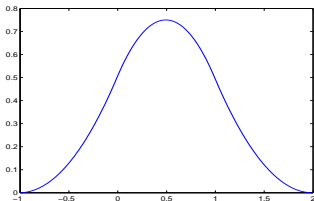
$$\frac{d}{dx} \mathcal{P}_j^1(f) = \mathcal{P}_j^0\left(\frac{d}{dx} f\right) \quad \text{et} \quad \frac{d}{dx} \tilde{\mathcal{P}}_j^0(f) = \tilde{\mathcal{P}}_j^1\left(\frac{d}{dx} f\right), \quad \forall f \in H^1(\mathbb{R})$$

- **Intérêts** : algorithmes rapides en ondelettes à divergence nulle ou à rotationnel nul

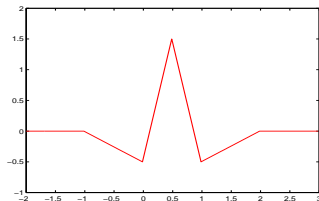
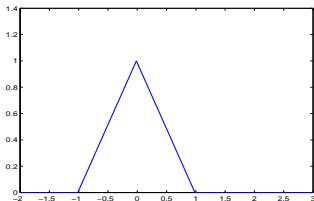
→ **Notre objectif est une construction similaire sur $[0, 1]$**

Ondelettes à divergence nulle ou à rotationnel nul

Spline quadratique φ^1 (à gauche) et l'ondelette associée ψ^1 (à droite) :



Spline linéaire φ^0 (à gauche) et l'ondelette associée ψ^0 (à droite) :



Ondelettes à divergence nulle ou à rotationnel nul

(ii) AMRs biorthogonales (V_j^0, \tilde{V}_j^0) de $L^2(0, 1)$ reliées à (V_j^1, \tilde{V}_j^1) par dérivation :

- On considère $(\varphi^0, \tilde{\varphi}^0)$ vérifiant la **propriété fondamentale [Lemarié 92]**
- On construit l'AMR (V_j^0, \tilde{V}_j^0) de $L^2(0, 1)$ associée à $(\varphi^0, \tilde{\varphi}^0)$:
 - Dérivation intérieure : $\frac{d}{dx}\varphi_{j,k}^1 = 2^j[\varphi_{j,k}^0 - \varphi_{j,k+1}^0]$ et $\frac{d}{dx}\tilde{\varphi}_{j,k}^0 = 2^j[\tilde{\varphi}_{j,k-1}^1 - \tilde{\varphi}_{j,k}^1]$
 - Reproduction polynomiale : $(r-2)$ pour V_j^0 et \tilde{r} pour \tilde{V}_j^0
- En gardant les mêmes paramètres entiers (δ_0, δ_1) et $(\tilde{\delta}_0, \tilde{\delta}_1)$ que pour (V_j^1, \tilde{V}_j^1) :
 - Relation de dérivation au bord en 0 :

$$(\Phi_0^{1,b})' = -\varphi_{k_0}^0 \quad (\Phi_\ell^{1,b})' = \Phi_{\ell-1}^{0,b} - \tilde{p}_\ell^1(k_0 - 1) \varphi_{k_0}^0$$

- Relation similaire pour \tilde{V}_j^0 et en 1 en utilisant la transformation : $Tf(x) = f(1-x)$
- Égalité des dimensions et commutation des projecteurs : $\tilde{V}_j^0 \subset H_0^1(0, 1)$

Ondelettes à divergence nulle ou à rotationnel nul

(ii) AMRs biorthogonales (V_j^0, \tilde{V}_j^0) de $L^2(0, 1)$ reliées à (V_j^1, \tilde{V}_j^1) par dérivation :

Proposition

$$(a) \quad \frac{d}{dx} V_j^1 = V_j^0 \quad \text{et} \quad \frac{d}{dx} \circ \mathcal{P}_j^1 f = \mathcal{P}_j^0 \circ \frac{d}{dx} f, \quad \forall f \in H^1$$

$$(b) \quad \frac{d}{dx} \tilde{V}_j^0 \subset \tilde{V}_j^1 \quad \text{et} \quad \frac{d}{dx} \circ \tilde{\mathcal{P}}_j^0 f = \tilde{\mathcal{P}}_j^1 \circ \frac{d}{dx} f, \quad \forall f \in H_0^1$$

$(\mathcal{P}_j^1, \tilde{\mathcal{P}}_j^1)$ et $(\mathcal{P}_j^0, \tilde{\mathcal{P}}_j^0)$ projecteurs obliques respectivement sur (V_j^1, \tilde{V}_j^1) et (V_j^0, \tilde{V}_j^0)

• Définition des ondelettes de W_j^0 et \tilde{W}_j^0 (idée de [Jouini-Lemarié 93]) :

$$\psi_{j,k}^0 = 2^{-j} \frac{d}{dx} \psi_{j,k}^1 \quad \text{et} \quad \tilde{\psi}_{j,k}^0 = -2^j \int_0^x \tilde{\psi}_{j,k}^1, \quad (k : \text{bord et intérieur confondu})$$

→ Nouveauté : les ondelettes de bords sortent du cadre habituel [Meyer 91, Masson 99, Monasse-Perrier 99, ...]

→ Relation à deux échelles → FWT

Ondelettes à divergence nulle ou à rotationnel nul

(ii) AMRs biorthogonales (V_j^0, \tilde{V}_j^0) de $L^2(0,1)$ reliées à (V_j^1, \tilde{V}_j^1) par dérivation :

Proposition

$$(a) \quad \frac{d}{dx} V_j^1 = V_j^0 \quad \text{et} \quad \frac{d}{dx} \circ \mathcal{P}_j^1 f = \mathcal{P}_j^0 \circ \frac{d}{dx} f, \quad \forall f \in H^1$$

$$(b) \quad \frac{d}{dx} \tilde{V}_j^0 \subset \tilde{V}_j^1 \quad \text{et} \quad \frac{d}{dx} \circ \tilde{\mathcal{P}}_j^0 f = \tilde{\mathcal{P}}_j^1 \circ \frac{d}{dx} f, \quad \forall f \in H_0^1$$

$(\mathcal{P}_j^1, \tilde{\mathcal{P}}_j^1)$ et $(\mathcal{P}_j^0, \tilde{\mathcal{P}}_j^0)$ projecteurs obliques respectivement sur (V_j^1, \tilde{V}_j^1) et (V_j^0, \tilde{V}_j^0)

• Définition des ondelettes de W_j^0 et \tilde{W}_j^0 (idée de [Jouini-Lemarié 93]) :

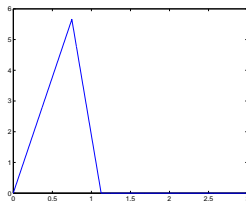
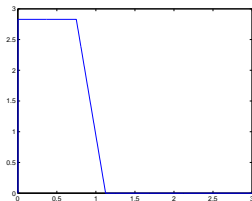
$$\psi_{j,k}^0 = 2^{-j} \frac{d}{dx} \psi_{j,k}^1 \quad \text{et} \quad \tilde{\psi}_{j,k}^0 = -2^j \int_0^x \tilde{\psi}_{j,k}^1, \quad (k : \text{bord et intérieur confondu})$$

→ Nouveauté : les ondelettes de bords sortent du cadre habituel [Meyer 91, Masson 99, Monasse-Perrier 99, ...]

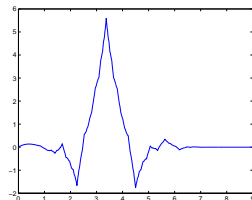
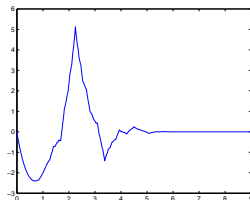
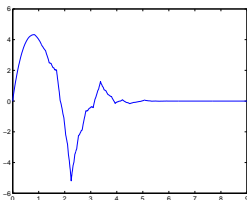
→ Relation à deux échelles → FWT

Ondelettes à divergence nulle ou à rotationnel nul

- Fonctions d'échelle de bord en 0 de V_j^0 (espace dérivé) : $(\varphi^1, \tilde{\varphi}^1)$ B-Spline 3.3

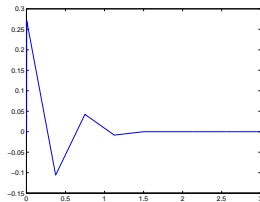
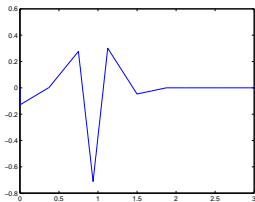
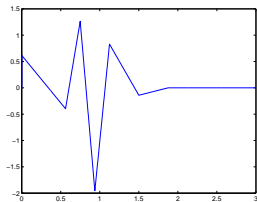


- Fonctions d'échelle de bord en 0 de $\tilde{V}_j^0 \subset H_0^1(0,1)$ (espace intégré) : $(\varphi^1, \tilde{\varphi}^1)$ B-Spline 3.3

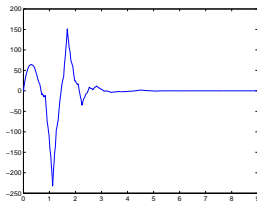
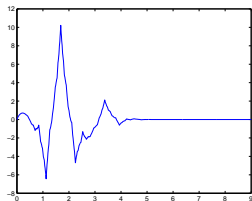
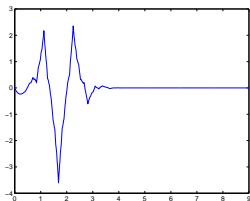


Ondelettes à divergence nulle ou à rotationnel nul

- Ondelettes de bord en 0 de W_j^0 (par dérivation) : $(\varphi^1, \tilde{\varphi}^1)$ B-Spline 3.3



- Ondelettes de bord en 0 de $\tilde{W}_j^0 \subset H_0^1(0, 1)$ (par intégration) : $(\varphi^1, \tilde{\varphi}^1)$ B-Spline 3.3



Ondelettes à divergence nulle ou à rotationnel nul

(iii) Construction d'ondelettes à divergence nulle 2D de $\mathcal{H}_{div}(\Omega)$:

- Analyse multirésolution à divergence nulle \mathbb{V}_j^{div} :

$$\mathbb{V}_j^{div} = \text{vect} \langle \Phi_{j,\mathbf{k}}^{div} \rangle, \quad j \geq j_{min}, \quad \mathbf{k} = (k_1, k_2)$$

- Fonctions d'échelle à divergence nulle sur $[0, 1]^2$:

$$\Phi_{j,\mathbf{k}}^{div} = \text{rot}[\varphi_{j,k_1}^d \otimes \varphi_{j,k_2}^d] = \begin{vmatrix} \varphi_{j,k_1}^d \otimes (\varphi_{j,k_2}^d)' \\ -(\varphi_{j,k_1}^d)' \otimes \varphi_{j,k_2}^d \end{vmatrix}, \quad \varphi_{j,k}^d \in V_j^d = V_j^1 \cap H_0^1$$

$$\text{(Comme } \frac{d}{dx} V_j^1 = V_j^0 \text{)}$$

$$\rightarrow \mathbb{V}_j^{div} = (V_j^1 \otimes V_j^0) \times (V_j^0 \otimes V_j^1) \cap \mathcal{H}_{div}([0, 1]^2) \rightarrow \text{FWT!}$$

- Ondelettes à divergence nulle anisotropes sur $[0, 1]^2$:

$$\Psi_{\mathbf{j},\mathbf{k}}^{div} = \text{rot}[\psi_{j_1,k_1}^d \otimes \psi_{j_2,k_2}^d] = \begin{vmatrix} 2^{j_2} \psi_{j_1,k_1}^d \otimes \psi_{j_2,k_2}^0 \\ -2^{j_1} \psi_{j_1,k_1}^0 \otimes \psi_{j_2,k_2}^d \end{vmatrix} \quad (\psi_{j,k}^0 = 2^{-j} \frac{d}{dx} \psi_{j,k}^1)$$

$$\mathbf{j} = (j_1, j_2), \text{ avec } j_1, j_2 \geq j_{min}$$

Ondelettes à divergence nulle ou à rotationnel nul

(iii) Construction d'ondelettes à rotationnel nul 2D de $\mathcal{H}_{rot}(\Omega)$:

- Analyse multirésolution à rotationnel nul \mathbb{V}_j^{rot} :

$$\mathbb{V}_j^{rot} = \text{vect} \langle \Phi_{j,\mathbf{k}}^{rot} \rangle, \quad j \geq j_{min}, \quad \mathbf{k} = (k_1, k_2)$$

- Fonctions d'échelle à rotationnel nul sur $[0, 1]^2$:

$$\Phi_{j,\mathbf{k}}^{rot} = \nabla[\varphi_{j,k_1}^d \otimes \varphi_{j,k_2}^d] = \begin{vmatrix} (\varphi_{j,k_1}^d)' \otimes \varphi_{j,k_2}^d \\ \varphi_{j,k_1}^d \otimes (\varphi_{j,k_2}^d)' \end{vmatrix}, \quad \varphi_{j,k}^d \in V_j^d = V_j^1 \cap H_0^1$$

$$\text{(Comme } \frac{d}{dx} V_j^1 = V_j^0 \text{)}$$

$$\rightarrow \mathbb{V}_j^{rot} \subset (V_j^0 \otimes V_j^1) \times (V_j^1 \otimes V_j^0) \cap \mathcal{H}_{div}^\perp([0, 1]^2) \rightarrow \text{FWT!}$$

- Ondelettes à rotationnel nul anisotropes sur $[0, 1]^2$:

$$\Psi_{\mathbf{j},\mathbf{k}}^{rot} = \nabla[\psi_{j_1,k_1}^d \otimes \psi_{j_2,k_2}^d] = \begin{vmatrix} 2^{j_1} \psi_{j_1,k_1}^0 \otimes \psi_{j_2,k_2}^d \\ 2^{j_2} \psi_{j_1,k_1}^d \otimes \psi_{j_2,k_2}^0 \end{vmatrix} \quad (\psi_{j,k}^0 = 2^{-j} \frac{d}{dx} \psi_{j,k}^1)$$

$$\mathbf{j} = (j_1, j_2), \text{ avec } j_1, j_2 \geq j_{min}$$

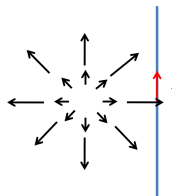
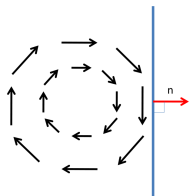
Ondelettes à divergence nulle ou à rotationnel nul

Conditions aux limites pour $\mathcal{H}_{div}(\Omega)$:

- Normale nulle au bord : $V_j^d = V_j^1 \cap H_0^1(0,1) \longrightarrow \Phi_{j,\mathbf{k}}^{div} \cdot \vec{n} = 0$
- Dirichlet homogène : $V_j^d = V_j^1 \cap H_0^2(0,1) \longrightarrow \Phi_{j,\mathbf{k}}^{div}|_{\Gamma} = 0$

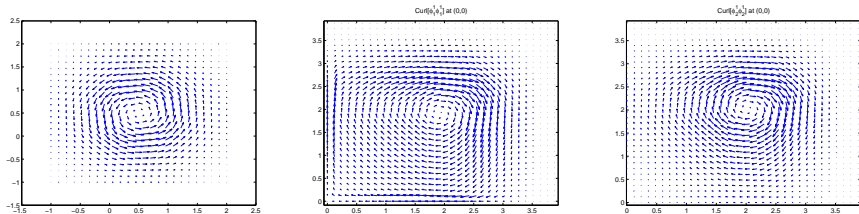
Conditions aux limites pour $\mathcal{H}_{rot}(\Omega)$:

- Tangente nulle au bord : $V_j^d = V_j^1 \cap H_0^1(0,1) \longrightarrow \Phi_{j,\mathbf{k}}^{rot} \cdot \vec{\tau} = 0$
- Dirichlet homogène : $V_j^d = V_j^1 \cap H_0^2(0,1) \longrightarrow \Phi_{j,\mathbf{k}}^{rot}|_{\Gamma} = 0$

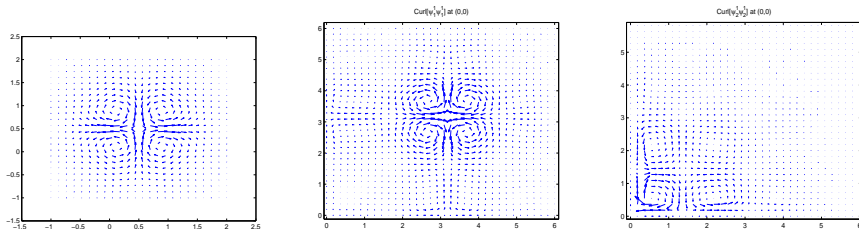


Ondelettes à divergence nulle ou à rotationnel nul

Exemple de fonction d'échelle à divergence nulle sur $[0, 1]^2$: $\Phi_{j,k}^{\text{div}} \cdot \vec{n} = 0$

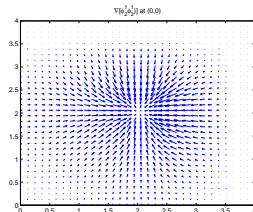
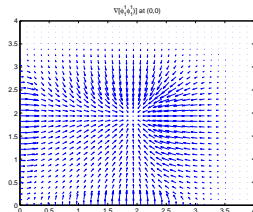
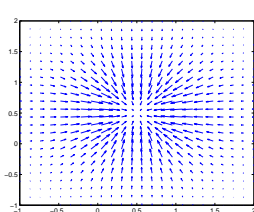


Exemple d'ondelettes à divergence nulle sur $[0, 1]^2$: $\Psi_{j,k}^{\text{div}} \cdot \vec{n} = 0$

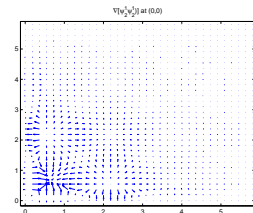
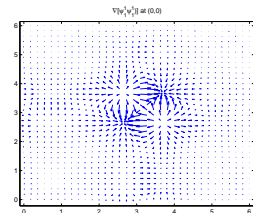
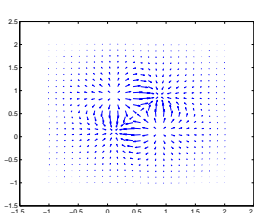


Ondelettes à divergence nulle ou à rotationnel nul

Exemple de fonctions d'échelle à rotationnel nul sur $[0, 1]^2$: $\Phi_{j,\mathbf{k}}^{\text{rot}} \cdot \vec{\tau} = 0$



Exemple d'ondelettes à rotationnel nul sur $[0, 1]^2$: $\Psi_{j,\mathbf{k}}^{\text{rot}} \cdot \vec{\tau} = 0$



Ondelettes à divergence nulle ou à rotationnel nul

Les fonctions duales :

- Fonctions d'échelle :

$$\tilde{\Phi}_{j,\mathbf{k}}^{\text{div}} = \begin{vmatrix} \tilde{\varphi}_{j,k_1}^d \otimes \tilde{\gamma}_{j,k_2} \\ -\tilde{\gamma}_{j,k_1} \otimes \tilde{\varphi}_{j,k_2}^d \end{vmatrix} \quad \tilde{\Phi}_{j,\mathbf{k}}^{\text{rot}} = \begin{vmatrix} \tilde{\gamma}_{j,k_1} \otimes \tilde{\varphi}_{j,k_2}^+ \\ \varphi_{j,k_1}^+ \otimes \tilde{\gamma}_{j,k_2} \end{vmatrix}, \quad \tilde{\gamma}_{j,k} = -\int_0^x \tilde{\varphi}_{j,k}^1$$

- Ondelettes :

$$\tilde{\Psi}_{j,\mathbf{k}}^{\text{div}} = \begin{vmatrix} 2^{j_2} \tilde{\psi}_{j_1,k_1}^d \otimes \tilde{\psi}_{j_2,k_2}^0 \\ -2^{j_1} \tilde{\psi}_{j_1,k_1}^0 \otimes \tilde{\psi}_{j_2,k_2}^d \end{vmatrix} \quad \tilde{\Psi}_{j,\mathbf{k}}^{\text{rot}} = \begin{vmatrix} 2^{j_1} \tilde{\psi}_{j_1,k_1}^0 \otimes \tilde{\psi}_{j_2,k_2}^d \\ 2^{j_2} \tilde{\psi}_{j_1,k_1}^d \otimes \tilde{\psi}_{j_2,k_2}^0 \end{vmatrix}$$

→ Normalisation → Algorithmes rapides

Ondelettes à divergence nulle ou à rotationnel nul

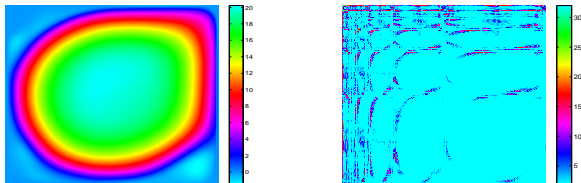


Figure: Coeffs d'échelle (à gauche) et d'ondelettes (à droite) : $(\varphi^1, \tilde{\varphi}^1)$ B-Spline 3.3 et $j = 8$.

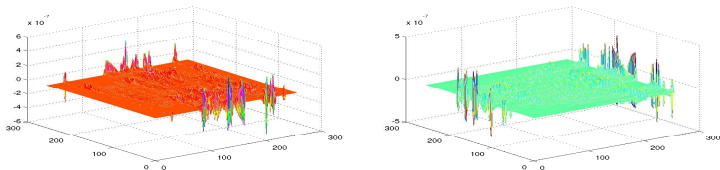


Figure: Résidus sur u_1 (à gauche) et u_2 (à droite) : 22% de coeffs à div-nulle retenus.

Ondelettes à divergence nulle ou à rotationnel nul

Approximation non linéaire :

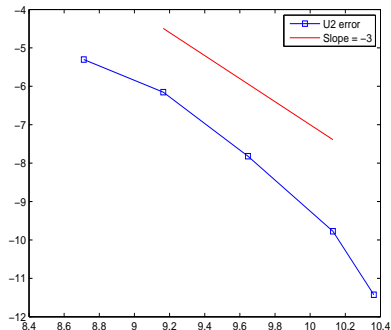
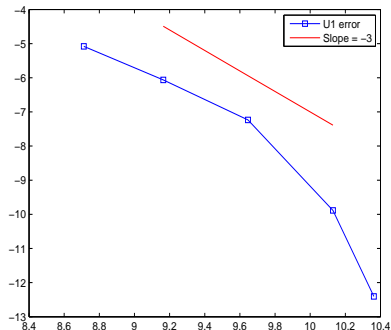


Figure: Erreur ℓ^2 sur \mathbf{u}_1 (à gauche) et \mathbf{u}_2 (à droite) : échelle loglog (en X nombre de coeffs retenus et en Y l'erreur).

Ondelettes à divergence nulle ou à rotationnel nul

Cas des dimensions supérieures

- Divergence nulle :

$$\Phi_{j,\mathbf{k}}^{1,\text{div}} = \text{rot} \begin{vmatrix} 0 \\ 0 \\ \varphi_{j,k_1}^d \otimes \varphi_{j,k_2}^d \otimes (\varphi_{j,k_3}^d)' \end{vmatrix}$$

$$\Phi_{j,\mathbf{k}}^{2,\text{div}} = \text{rot} \begin{vmatrix} (\varphi_{j,k_1}^d)' \otimes \varphi_{j,k_2}^d \otimes \varphi_{j,k_3}^d \\ 0 \\ 0 \end{vmatrix}$$

$$\Psi_{j,\mathbf{k}}^{1,\text{div}} = \text{rot} \begin{vmatrix} 0 \\ 0 \\ \psi_{j_1,k_1}^1 \otimes \psi_{j_2,k_2}^1 \otimes \psi_{j_3,k_3}^0 \end{vmatrix}$$

$$\Psi_{j,\mathbf{k}}^{2,\text{div}} = \text{rot} \begin{vmatrix} \psi_{j_1,k_1}^0 \otimes \psi_{j_2,k_2}^1 \otimes \psi_{j_3,k_3}^1 \\ 0 \\ 0 \end{vmatrix}$$

→ $(d-1)$ fonctions d'échelle et $(2^d - 1)(d-1)$ ondelettes libres

- Rotationnel nul :

$$\Phi_{j,\mathbf{k}}^{\text{rot}} = \nabla[\varphi_{j,k_1}^d \otimes \varphi_{j,k_2}^d \otimes \varphi_{j,k_3}^d] \quad \Psi_{j,\mathbf{k}}^{\text{rot}} = \nabla[\psi_{j_1,k_1}^d \otimes \psi_{j_2,k_2}^d \otimes \psi_{j_3,k_3}^d]$$

1 Ondettes à divergence nulle ou à rotationnel nul

2 Décomposition de Helmholtz-Hodge par ondelettes

3 Nouveaux schémas numériques pour Navier-Stokes

4 Conclusion-Perspectives

Décomposition de Helmholtz-Hodge par ondelettes

Définitions [Girault-Raviart 86] :

- $\Omega \subset \mathbb{R}^d$, ouvert borné connexe de frontière $\Gamma = \partial\Omega$ régulière :

$$(L^2(\Omega))^d = \mathcal{H}_{div}(\Omega) \oplus \mathcal{H}_{rot}(\Omega) \oplus \mathcal{H}_{har}(\Omega)$$

avec

$$\mathcal{H}_{har}(\Omega) = \{\mathbf{u} = \nabla \mathbf{h} ; \mathbf{h} \in H^1(\Omega) \text{ et } \Delta \mathbf{h} = 0\}$$

- Décomposition unique de tout $\mathbf{u} \in (L^2(\Omega))^d$: $\chi \in H_0^1(\Omega)$, $\mathbf{q} \in H_0^1(\Omega)$ et $\Delta \mathbf{h} = 0$

$$\mathbf{u} = \mathbf{rot}(\chi) + \nabla \mathbf{q} + \nabla \mathbf{h} \text{ dans } \Omega$$

$$\nabla \cdot [\mathbf{rot}(\chi)] = 0, \quad \mathbf{rot}[\nabla \mathbf{q}] = 0 \quad \text{et} \quad \nabla \cdot [\nabla \mathbf{h}] = 0 = \mathbf{rot}[\nabla \mathbf{h}]$$

$$\text{Somme orthogonale : } \int_{\Omega} \mathbf{v} \cdot \nabla \mathbf{p} + \int_{\Omega} \nabla \cdot \mathbf{v} \mathbf{p} = \int_{\Gamma} \mathbf{v} \cdot \vec{\mathbf{n}} \mathbf{p}$$

Décomposition de Helmholtz-Hodge par ondelettes

Calculs pratiques :

$$\mathbf{u} = \mathbf{u}_{\text{div}} + \mathbf{u}_{\text{rot}} + \mathbf{u}_{\text{har}}$$

Alors :

$$\langle \mathbf{u} / \Psi_{\mathbf{j},\mathbf{k}}^{\text{div}} \rangle = \langle \mathbf{u}_{\text{div}} / \Psi_{\mathbf{j},\mathbf{k}}^{\text{div}} \rangle \quad \text{et} \quad \langle \mathbf{u} / \Psi_{\mathbf{j},\mathbf{k}}^{\text{rot}} \rangle = \langle \mathbf{u}_{\text{rot}} / \Psi_{\mathbf{j},\mathbf{k}}^{\text{rot}} \rangle$$

On cherche \mathbf{u}_{div} et \mathbf{u}_{rot} sous la forme :

$$\mathbf{u}_{\text{div}} = \sum_{\mathbf{j},\mathbf{k}} d_{\mathbf{j},\mathbf{k}}^{\text{div}} \Psi_{\mathbf{j},\mathbf{k}}^{\text{div}} \quad \text{et} \quad \mathbf{u}_{\text{rot}} = \sum_{\mathbf{j},\mathbf{k}} d_{\mathbf{j},\mathbf{k}}^{\text{rot}} \Psi_{\mathbf{j},\mathbf{k}}^{\text{rot}}$$

Ce qui donne :

$$(d_{\mathbf{j},\mathbf{k}}^{\text{div}}) = \mathbb{M}_{\text{div}}^{-1}(\langle \mathbf{u} / \Psi_{\mathbf{j},\mathbf{k}}^{\text{div}} \rangle) \quad \text{et} \quad (d_{\mathbf{j},\mathbf{k}}^{\text{rot}}) = \mathbb{M}_{\text{rot}}^{-1}(\langle \mathbf{u} / \Psi_{\mathbf{j},\mathbf{k}}^{\text{rot}} \rangle)$$

\mathbb{M}_{div} et \mathbb{M}_{rot} : matrices de Gram des bases $(\Psi_{\mathbf{j},\mathbf{k}}^{\text{div}})$ et $(\Psi_{\mathbf{j},\mathbf{k}}^{\text{rot}})$ respectivement.

$$\mathbf{u}_{\text{har}} = \mathbf{u} - \mathbf{u}_{\text{div}} - \mathbf{u}_{\text{rot}}$$

Décomposition de Helmholtz-Hodge par ondelettes

Propriétés :

- En dimension deux d'espace :

$$\forall \mathbf{u}, \mathbf{v} \in H_0^1(\Omega) \quad \int_{\Omega} \mathbf{rot}(\mathbf{u}) \cdot \mathbf{rot}(\mathbf{v}) = \int_{\Omega} \nabla \mathbf{u} \cdot \nabla \mathbf{v} \quad (\text{idem en périodique})$$

Alors

→ \mathbf{M}_{div} = Matrice du Laplacien scalaire 2D → préconditionneur diagonal !

- La structure tensorielle des bases donne :

$$[\mathbf{M}_{\text{div}}(d_{\mathbf{j},\mathbf{k}}^{\text{div}})] = \mathbf{M}[d_{\mathbf{j},\mathbf{k}}^{\text{div}}]\mathbf{R} + \mathbf{R}[d_{\mathbf{j},\mathbf{k}}^{\text{div}}]\mathbf{M}$$

avec \mathbf{M} et \mathbf{R} les matrices de masse et de raideur de la base 1D ($\psi_{j,k}^d$).

- \mathbf{M}_{rot} matrice du Laplacien scalaire quelque soit la dimension

Décomposition de Helmholtz-Hodge par ondelettes

Propriétés :

- En dimension deux d'espace :

$$\forall \mathbf{u}, \mathbf{v} \in H_0^1(\Omega) \quad \int_{\Omega} \mathbf{rot}(\mathbf{u}) \cdot \mathbf{rot}(\mathbf{v}) = \int_{\Omega} \nabla \mathbf{u} \cdot \nabla \mathbf{v} \quad (\text{idem en périodique})$$

Alors

→ \mathbb{M}_{div} = Matrice du Laplacien scalaire 2D → préconditionneur diagonal !

- La structure tensorielle des bases donne :

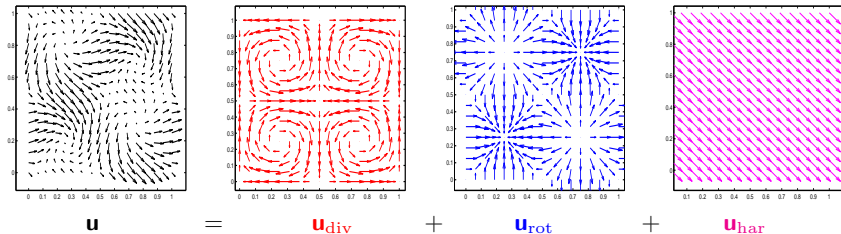
$$[\mathbb{M}_{\text{div}}(d_{\mathbf{j},\mathbf{k}}^{\text{div}})] = \mathbf{M}[d_{\mathbf{j},\mathbf{k}}^{\text{div}}]\mathbf{R} + \mathbf{R}[d_{\mathbf{j},\mathbf{k}}^{\text{div}}]\mathbf{M}$$

avec \mathbf{M} et \mathbf{R} les matrices de masse et de raideur de la base 1D ($\psi_{j,k}^d$).

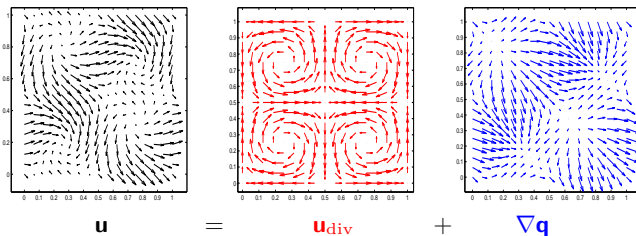
- \mathbb{M}_{rot} matrice du Laplacien scalaire quelque soit la dimension

Décomposition de Helmholtz-Hodge par ondelettes

• Décomposition de Helmholtz-Hodge :



• Décomposition de Helmholtz : $\mathbf{u}_{\text{div}} \cdot \vec{\mathbf{n}} = 0$



Décomposition de Helmholtz-Hodge par ondelettes

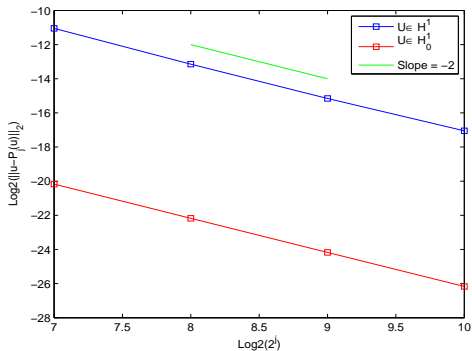


Figure: Erreur H^1 sur \mathbf{u} et l'erreur H_0^1 sur \mathbf{v} : générateurs B-Spline 3.3

$$\mathbf{u} = \text{curl}[\cos(4\pi x)x(1-x)\cos(4\pi y)y(1-y)] \in H^1(\Omega)$$

$$\mathbf{v} = \text{curl}[\sin(4\pi x)x^3(1-x)^3\sin(4\pi y)y^3(1-y)^3] \in H_0^1(\Omega)$$

1 Ondettes à divergence nulle ou à rotationnel nul

2 Décomposition de Helmholtz-Hodge par ondelettes

3 Nouveaux schémas numériques pour Navier-Stokes

4 Conclusion-Perspectives

Nouveaux schémas numériques pour Navier-Stokes

Schémas en temps-méthode de projection classique :

- Calcul de la vitesse intermédiaire :

$$\begin{cases} \frac{\mathbf{v}^* - \mathbf{v}_n}{\delta t} - \nu \Delta \mathbf{v}^* + (\mathbf{v}_n \cdot \nabla) \mathbf{v}_n = 0, & \text{dans } \Omega \\ \mathbf{v}^* = \mathbf{v}_b, & \text{sur } \partial\Omega \end{cases}$$

- Calcul de la pression, puis de la vitesse :

$$\begin{cases} \delta t \Delta \mathbf{p}_{n+1} - \nabla \cdot \mathbf{v}^* = 0, & \text{dans } \Omega \\ \nabla \mathbf{p}_{n+1} = 0, & \text{sur } \partial\Omega \end{cases} \quad \begin{cases} \mathbf{v}_{n+1} = \mathbf{v}^* - \delta t \nabla \mathbf{p}_{n+1}, & \text{dans } \Omega \\ \mathbf{v}_{n+1} = \mathbf{v}_b, & \text{sur } \partial\Omega \end{cases}$$

Méthode de projection modifiée

$$\begin{cases} \frac{\mathbf{v}^* - \mathbf{v}_n}{\delta t} - \nu \Delta \mathbf{v}^* + (\mathbf{v}_n \cdot \nabla) \mathbf{v}_n = 0, & \text{dans } \Omega \\ \mathbf{v}^* = \mathbf{v}_b, & \text{sur } \partial\Omega \\ \mathbf{v}_{n+1} = \mathbb{P}(\mathbf{v}^*) \end{cases}$$

Nouveaux schémas numériques pour Navier-Stokes

Schémas en temps-méthode de projection classique :

- Calcul de la vitesse intermédiaire :

$$\begin{cases} \frac{\mathbf{v}^* - \mathbf{v}_n}{\delta t} - \nu \Delta \mathbf{v}^* + (\mathbf{v}_n \cdot \nabla) \mathbf{v}_n = 0, & \text{dans } \Omega \\ \mathbf{v}^* = \mathbf{v}_b, & \text{sur } \partial\Omega \end{cases}$$

- Calcul de la pression, puis de la vitesse :

$$\begin{cases} \delta t \Delta \mathbf{p}_{n+1} - \nabla \cdot \mathbf{v}^* = 0, & \text{dans } \Omega \\ \nabla \mathbf{p}_{n+1} = 0, & \text{sur } \partial\Omega \end{cases} \quad \begin{cases} \mathbf{v}_{n+1} = \mathbf{v}^* - \delta t \nabla \mathbf{p}_{n+1}, & \text{dans } \Omega \\ \mathbf{v}_{n+1} = \mathbf{v}_b, & \text{sur } \partial\Omega \end{cases}$$

Méthode de projection modifiée

$$\begin{cases} \frac{\mathbf{v}^* - \mathbf{v}_n}{\delta t} - \nu \Delta \mathbf{v}^* + (\mathbf{v}_n \cdot \nabla) \mathbf{v}_n = 0, & \text{dans } \Omega \\ \mathbf{v}^* = \mathbf{v}_b, & \text{sur } \partial\Omega \\ \mathbf{v}_{n+1} = \mathbb{P}(\mathbf{v}^*) \end{cases}$$

Nouveaux schémas numériques pour Navier-Stokes

Schémas en temps-méthode de Gauge classique : $\mathbf{a} = \mathbf{v} + \nabla\chi$

- Calcul de la vitesse intermédiaire :

$$\left\{ \begin{array}{l} \frac{\mathbf{a}_{n+1} - \mathbf{a}_n}{\delta t} - \nu \Delta \mathbf{a}_{n+1} + (\mathbf{v}_n \cdot \nabla) \mathbf{v}_n = 0, \text{ dans } \Omega \\ \mathbf{a}_{n+1} \cdot \vec{\mathbf{n}} = \mathbf{v}_b \cdot \vec{\mathbf{n}}, \mathbf{a}_{n+1} \cdot \vec{\boldsymbol{\tau}} = \mathbf{v}_b \cdot \vec{\boldsymbol{\tau}} + 2 \frac{\partial \chi_n}{\partial \vec{\boldsymbol{\tau}}} - \frac{\partial \chi_{n-1}}{\partial \vec{\boldsymbol{\tau}}}, \text{ sur } \partial \Omega \end{array} \right.$$

- Calcul de la vitesse :

$$\left\{ \begin{array}{l} \Delta \chi_{n+1} = \nabla \cdot \mathbf{a}_{n+1}, \text{ dans } \Omega \\ \frac{\partial \chi_{n+1}}{\partial \vec{\mathbf{n}}} = 0, \text{ sur } \partial \Omega \\ \mathbf{v}_{n+1} = \mathbf{a}_{n+1} - \nabla \chi_{n+1} \end{array} \right.$$

Méthode de Gauge modifiée

$$\left\{ \begin{array}{l} \frac{\mathbf{a}_{n+1} - \mathbf{a}_n}{\delta t} - \nu \Delta \mathbf{a}_{n+1} + (\mathbf{v}_n \cdot \nabla) \mathbf{v}_n = 0, \text{ dans } \Omega \\ \mathbf{a}_{n+1} \cdot \vec{\mathbf{n}} = \mathbf{v}_b \cdot \vec{\mathbf{n}}, \mathbf{a}_{n+1} \cdot \vec{\boldsymbol{\tau}} = \mathbf{v}_b \cdot \vec{\boldsymbol{\tau}} + 2 \frac{\partial \chi_n}{\partial \vec{\boldsymbol{\tau}}} - \frac{\partial \chi_{n-1}}{\partial \vec{\boldsymbol{\tau}}}, \text{ sur } \partial \Omega \\ \mathbf{v}_{n+1} = \mathbb{P}(\mathbf{a}_{n+1}) \end{array} \right.$$

Nouveaux schémas numériques pour Navier-Stokes

Schémas en temps-méthode de Gauge classique : $\mathbf{a} = \mathbf{v} + \nabla\chi$

- Calcul de la vitesse intermédiaire :

$$\left\{ \begin{array}{l} \frac{\mathbf{a}_{n+1} - \mathbf{a}_n}{\delta t} - \nu \Delta \mathbf{a}_{n+1} + (\mathbf{v}_n \cdot \nabla) \mathbf{v}_n = 0, \text{ dans } \Omega \\ \mathbf{a}_{n+1} \cdot \vec{\mathbf{n}} = \mathbf{v}_b \cdot \vec{\mathbf{n}}, \mathbf{a}_{n+1} \cdot \vec{\tau} = \mathbf{v}_b \cdot \vec{\tau} + 2 \frac{\partial \chi_n}{\partial \vec{\tau}} - \frac{\partial \chi_{n-1}}{\partial \vec{\tau}}, \text{ sur } \partial \Omega \end{array} \right.$$

- Calcul de la vitesse :

$$\left\{ \begin{array}{l} \Delta \chi_{n+1} = \nabla \cdot \mathbf{a}_{n+1}, \text{ dans } \Omega \\ \frac{\partial \chi_{n+1}}{\partial \vec{\mathbf{n}}} = 0, \text{ sur } \partial \Omega \\ \mathbf{v}_{n+1} = \mathbf{a}_{n+1} - \nabla \chi_{n+1} \end{array} \right.$$

Méthode de Gauge modifiée

$$\left\{ \begin{array}{l} \frac{\mathbf{a}_{n+1} - \mathbf{a}_n}{\delta t} - \nu \Delta \mathbf{a}_{n+1} + (\mathbf{v}_n \cdot \nabla) \mathbf{v}_n = 0, \text{ dans } \Omega \\ \mathbf{a}_{n+1} \cdot \vec{\mathbf{n}} = \mathbf{v}_b \cdot \vec{\mathbf{n}}, \mathbf{a}_{n+1} \cdot \vec{\tau} = \mathbf{v}_b \cdot \vec{\tau} + 2 \frac{\partial \chi_n}{\partial \vec{\tau}} - \frac{\partial \chi_{n-1}}{\partial \vec{\tau}}, \text{ sur } \partial \Omega \\ \mathbf{v}_{n+1} = \mathbb{P}(\mathbf{a}_{n+1}) \end{array} \right.$$

Nouveaux schémas numériques pour Navier-Stokes

Discrétisation en espace de la méthode de projection modifiée 2D :

- Méthode de Galerkin dans $\vec{V}_j = (V_j^1 \otimes V_j^0) \times (V_j^0 \otimes V_j^1) +$ conditions aux limites
- Séparation d'échelles :

$$\mathbf{v}_1(t, \mathbf{x}) = \sum_{|\mathbf{j}| < j, \mathbf{k}} d_{\mathbf{j}, \mathbf{k}}^1(t) \psi_{j_1, k_1}^1 \otimes \psi_{j_2, k_2}^0 \quad \text{et} \quad \mathbf{v}_2(t, \mathbf{x}) = \sum_{|\mathbf{j}| < j, \mathbf{k}} d_{\mathbf{j}, \mathbf{k}}^2(t) \psi_{j_1, k_1}^0 \otimes \psi_{j_2, k_2}^1$$

→ Un système d'ODE sur les coefficients : $d_{\mathbf{j}, \mathbf{k}}^{\epsilon, n} = d_{\mathbf{j}, \mathbf{k}}^{\epsilon}(n\delta t)$ et $d_{\mathbf{j}, \mathbf{k}}^{\epsilon, *, n} = d_{\mathbf{j}, \mathbf{k}}^{\epsilon, *} (n\delta t)$

$$\mathcal{A}_{\delta t}^1 [d_{\mathbf{j}, \mathbf{k}}^{1, *, n+1}] \mathcal{A}_{\delta t}^0 = \mathbf{M}^1 [d_{\mathbf{j}, \mathbf{k}}^{1, n}] \mathbf{M}^0 - \delta t \mathbf{M}^1 ([(\mathbf{v}_n \cdot \nabla) \mathbf{v}_n]_1) \mathbf{M}^0$$

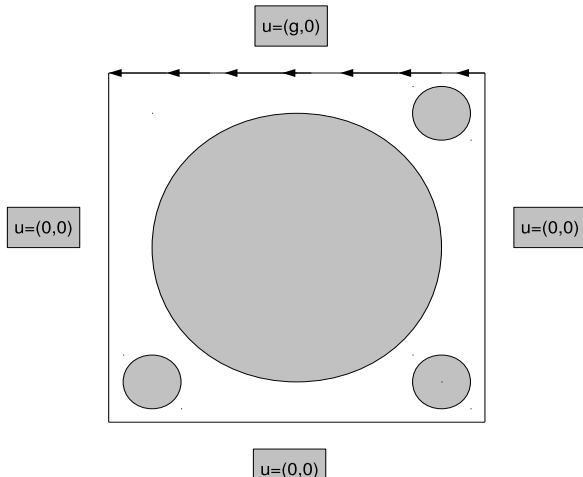
$$\mathcal{A}_{\delta t}^0 [d_{\mathbf{j}, \mathbf{k}}^{2, *, n+1}] \mathcal{A}_{\delta t}^1 = \mathbf{M}^0 [d_{\mathbf{j}, \mathbf{k}}^{2, n}] \mathbf{M}^1 - \delta t \mathbf{M}^0 ([(\mathbf{v}_n \cdot \nabla) \mathbf{v}_n]_2) \mathbf{M}^1$$

\mathbf{M}^{ϵ} , $\mathcal{A}_{\delta t}^1$ matrice de masse et matrice de l'opérateur $(1 - \delta t \nu \Delta)$ sur la base de $\{V_j^{\epsilon}\}_{\epsilon=0,1}$

→ Chaque pas de temps demande le calcul du projecteur \mathbb{P}

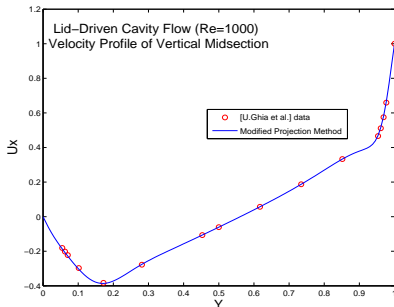
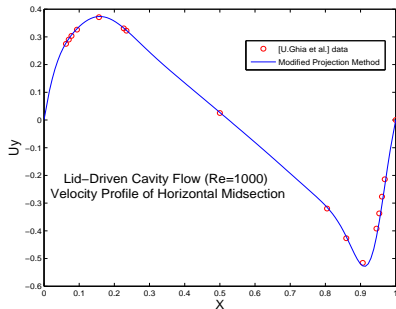
Nouveaux schémas numériques pour Navier-Stokes

Problème test étudié : cavité entraînée



Nouveaux schémas numériques pour Navier-Stokes

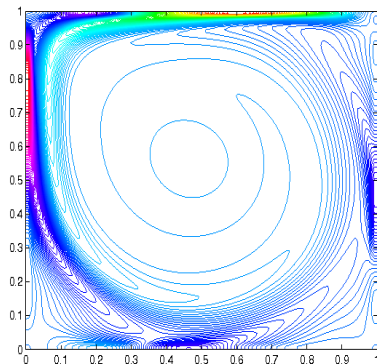
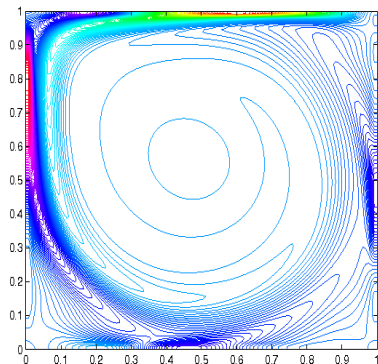
Validation : Profils des vitesses horizontale et verticale au centre



Méthode de projection modifiée $Re = 1000$: vitesse horizontale (à gauche) et vitesse verticale (à droite) pour $j = 7$ et $\mathbf{v}_b = 1$.

Données de référence : [U.Ghia et al. 82]

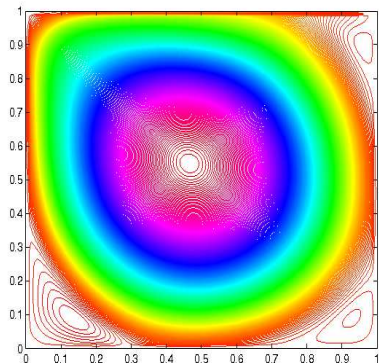
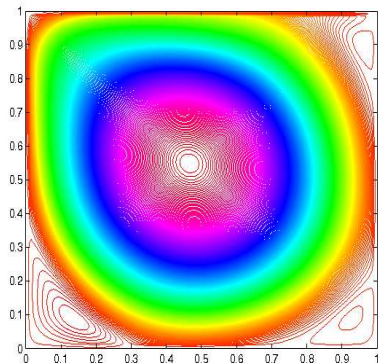
Profil de la vorticité :



Isocontours de la vorticité à $t = 30$. Méthode de projection modifiée (à gauche) et méthode de Gauge modifiée (à droite) pour $Re = 2000$, $j = 7$ et $\mathbf{v}_b = 16x^2(1-x)^2$.

Nouveaux schémas numériques pour Navier-Stokes

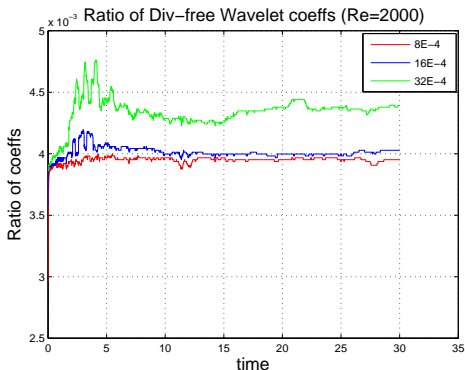
Profil des coefficients d'échelle à divergence nulle :



Isocontours des coeffs d'échelle à divergence nulle à $t = 30$. Méthode de projection modifiée (à gauche) et méthode de Gauge modifiée (à droite) pour $Re = 2000$, $j = 7$ et $\mathbf{v}_b = 16x^2(1-x)^2$.

Nouveaux schémas numériques pour Navier-Stokes

Évolution de la complexité sur les ondelettes à divergence nulle :



Évolution en temps du pourcentage des coefficients d'ondelettes supérieurs à ϵ fixé :
 $\epsilon = 8.10^{-4}$, $\epsilon = 16.10^{-4}$, $\epsilon = 32.10^{-4}$. B-Spline 3.3 pour $j = 8$ et $\mathbf{v}_b = 16x^2(1-x)^2$

Cavité entraînée à Reynolds grand :

Évolution de la vorticit  : $Re = 50000$, $j = 9$ et $\mathbf{v}_b = 16x^2(1 - x)^2$.

1 Ondettes à divergence nulle ou à rotationnel nul

2 Décomposition de Helmholtz-Hodge par ondelettes

3 Nouveaux schémas numériques pour Navier-Stokes

4 Conclusion-Perspectives

- ➊ **Nouvelles bases d'ondelettes à divergence nulle ou à rotationnel nul**
- ➋ **Décomposition de Helmholtz-Hodge**
- ➌ **Résolution de Navier-Stokes avec conditions aux limites physiques**
- ➍ Extension de la construction à d'autres types de géométrie
- ➎ Prise en compte de l'adaptativité dans Navier-Stokes
- ➏ Méthode variationnelle multi-échelle par ondelettes

- ➊ Nouvelles bases d'ondelettes à divergence nulle ou à rotationnel nul
- ➋ Décomposition de Helmholtz-Hodge
- ➌ Résolution de Navier-Stokes avec conditions aux limites physiques
- ➍ Extension de la construction à d'autres types de géométrie
- ➎ Prise en compte de l'adaptativité dans Navier-Stokes
- ➏ Méthode variationnelle multi-échelle par ondelettes

- ➊ Nouvelles bases d'ondelettes à divergence nulle ou à rotationnel nul
- ➋ Décomposition de Helmholtz-Hodge
- ➌ Résolution de Navier-Stokes avec conditions aux limites physiques
- ➍ Extension de la construction à d'autres types de géométrie
- ➎ Prise en compte de l'adaptativité dans Navier-Stokes
- ➏ Méthode variationnelle multi-échelle par ondelettes

- ➊ Nouvelles bases d'ondelettes à divergence nulle ou à rotationnel nul
- ➋ Décomposition de Helmholtz-Hodge
- ➌ Résolution de Navier-Stokes avec conditions aux limites physiques
- ➍ Extension de la construction à d'autres types de géométrie
- ➎ Prise en compte de l'adaptativité dans Navier-Stokes
- ➏ Méthode variationnelle multi-échelle par ondelettes

Quelques Simulations

Rebond de paire de vortex :

Évolution de la vorticit  : $\nu = 1/4000$ et $j = 9$.

Quelques Simulations

Reconnection de vortex :

Module de vorticit  : $j = 6$

Vorticit  dans le plan de reconnection : $j = 6$